

مقایسه اثرات محافظت‌کنندگی کبدی نانومیسل کورکومین با کورکومین و سیلیمارین در سندروم کبد الکلی مزمن در موش سوری

فائزه مقصومی^۱، سپیده اربابی بیدگلی^۲

۱- دانشکده داروسازی و علوم دارویی، دانشگاه علوم پزشکی آزاد اسلامی، تهران، ایران

۲- گروه سمتناستی داروشناسی، دانشکده داروسازی و علوم دارویی، دانشگاه علوم پزشکی آزاد اسلامی تهران، تهران، ایران

*آدرس مکاتبه: تهران، خیابان دکتر شریعتی، قلهک، ابتدای یخچال، واحد علوم دارویی

صندوق پستی: ۶۴۶۱۹۳۹۵

تلفن: ۰۲۱ ۲۲۶۴۰۰۵۱-۰۵، نامبر: ۰۲۱ ۲۲۶۰۲۰۵۹

پست الکترونیک: sepideharbabi@gmail.com

تاریخ دریافت: ۹۷/۳/۱۹

چکیده

مقدمه: کورکومین دارای اثرات کلینیکی ارزشمندی بر کبد است اما جذب ضعیف، متabolیسم سریع و عوارض جانبی دوزهای بالای آن در اثربخشی آن جهت پیشگیری و درمان بیماری‌ها محدودیت فراوانی ایجاد نموده است.

هدف: در این تحقیق، اثرات حفاظتی و ترمیم‌کنندگی نانومیسل کورکومین بر آسیب کبدی ناشی از مصرف مزمن اتانول، با کورکومین و سیلیمارین در مدل موش سوری مقایسه شد.

روش بررسی: تعداد ۴۲ سر موش سوری ماده، در ۸ گروه تقسیم‌بندی شدند و وضعیت این گروه‌ها بر اساس شاخص‌های کلینیکی، بیوشیمیابی (LDH و ALP AST ALT) و هیستوپاتولوژیک پس از ۶۰ روز در پایان مطالعه مورد مقایسه و ارزیابی قرار گرفت.

نتایج: سطوح سرمی ALT و AST در گروه‌های تحت درمان با نانوکورکومین (۱۰۰ mg/kg)، کورکومین (۱۰۰ mg/kg) و سیلیمارین (۲۵ mg/kg) نسبت به گروه مصرف کننده اتانول کاهش معنی داری یافت ($P < 0.05$) که بیانگر کاهش آسیب کبدی ناشی از اتانول می‌باشد. علاوه بر شاخص‌های بیوشیمیابی، یافته‌های هیستوپاتولوژیک نیز هم‌ارزی نانوکورکومین، کورکومین و سیلیمارین را در کنترل شاخص‌های سمیت کبدی ناشی از اتانول پس از قطع مواجهه با اتانول و در دوران نقاوت مسمومیت بالکل تأیید نمودند لیکن در این مقایسه، نانوکورکومین تنها ترکیبی بود که توانست به طور اختصاصی باعث کاهش معنی‌دار سطح LDH پس از قطع اتانول شود.

نتیجه گیری: نانوکورکومین با کنترل افتراقی سطح LDH نسبت به کورکومین و سیلیمارین می‌تواند قابلیت‌های کلینیکی ویژه‌ای در کنترل آسیب‌های کبدی ناشی از سمیت زینوبیوتیک‌ها در صورت انجام مطالعات تکمیلی داشته باشد.

گل واژگان: نانومیسل کورکومین، کورکومین، سیلیمارین، سندروم کبد الکلی



[۶] و حلالیت کورکومین در آب ناچیز بوده و حتی در حلال حلال‌های خشی و یا آب با pH اسیدی در حدود قابل اغماضی است [۷]. به این ترتیب میزان جذب کورکومین در مجرای گوارشی روده نیز حدود ۲۵ درصد از دوز تجویز شده است که نسبتاً محدود به نظر می‌رسد [۸]. بنا بر محدودیت محدودیت‌های ذکر شده، روش‌های مختلفی جهت افزایش اثربخشی کورکومین پیشنهاد شده است. یکی از روش‌های مورد استفاده، بهره‌برداری از فناوری نانو بوده است تا فراهمی زیستی کورکومین‌های ضدالتهاب و دارای خاصیت آنتی‌اکسیدانی، در بدن افزایش یابد [۹ - ۸]. افزایش حلالیت کورکومین در آب با افزایش میزان جذب و افزایش فراهمی زیستی و به تبع آن با افزایش خواص درمانی کورکومین همراه است به طوری که استفاده از فناوری نانو در برخی از فرمولاسیون‌های کورکومین با افزایش ۱۰ تا ۱۴ برابر در میزان جذب خوراکی کورکومین در مقایسه با کورکومین معمولی همراه بوده است [۱۰].

جهت ارزیابی سمیت کبدی، از آزمون‌های بیوشیمیابی استفاده می‌شود که از مهم‌ترین و معترضترین این آزمون‌ها می‌توان به فعالیت آمینوترانسферازهای سرمه‌آسپارتات آمینوترانسферاز (AST) و Aspartate aminotransferase (ALT) و آلانین آمینوترانسферاز (ALT) اشاره نمود که بالا رفتن سطح سرمی آنها نشان‌دهنده صدمه به هپاتوسیت‌ها بوده و افزایش فعالیت این دو آنزیم می‌تواند هشداردهنده حضور یک بیماری فعال کبدی باشد. آلkalain فسفاتاز Alkaline phosphatase (ALP) نیز یکی دیگر از بیمارکرها آسیب کبدی است که عمدتاً در بیماری‌های مرتبط با ترشح و دفع صفرا (بیماری‌های کلستاتیک) افزایش می‌یابد [۱۱]. تغییرات معنی‌دار این سه فاکتور در آسیب‌های کبدی به معنی شدت بروز انواع آسیب و ضرورت درمان است.

الکل زمینه‌ساز بروز بیماری‌های کبدی از قبیل استئاتوزیس، هپاتیت کبدی، فیروز و سیروز الكلی است که غالباً به دلیل مصرف طولانی مدت الکل بروز پیدا می‌کنند

مقدمه

زردچوبه (Turmeric) یک ترکیب گیاهی است که از ریشه گیاه Curcuma longa L. جدا شده و به عنوان یک مکمل گیاهی بسیار رایج با خواص قابل توجه آنتی‌اکسیدانی در هندوستان، ایران و سایر کشورهای آسیا، مدیترانه شرقی و سایر قاره‌ها استفاده می‌شود. مطالعات مختلفی که بر روی زردچوبه انجام شده است، نشان می‌دهد که این ماده شامل ترکیبات متعددی است که مهم‌ترین آنها عبارتند از روغن‌های ضروری، تورمرون‌ها، آتالتون‌ها، زینجیرن، تورمرین و کورکومینوئیدها. از دیگر مواد موجود در زردچوبه می‌توان به مواد معدنی نظیر پتاسیم، کاروتون، ویتامین C و نشاسته ژلاتینه شده اشاره نمود [۱]. زردچوبه، از دیرباز در طب سنتی هند (ایورودا) از اهمیت قابل ملاحظه‌ای برخوردار بوده است. طب آیورودا بیش از ۵۱۱ نوع داروی گیاهی را شرح می‌دهد که شامل ادویه‌ها و افزومنی‌های خوراکی است که موجب تقویت سلامت می‌شوند. کورکومین [1, 7-bis (4-hydroxy-3-methoxyphenyl)-1, 6-heptadiene-3,5-dione] یک ترکیب پلی‌فنولی مشتق از زردچوبه است [۲]. اگرچه از دیرباز در طب سنتی از کورکومین در درمان بیماری‌های تنفسی مثل آنفلوآنزا، آسم، سینوزیت، آرژی، بیماری‌های کبدی، روماتیسم، بیماری‌های پوستی، ترمیم زخم‌ها، سوختگی‌ها و بیماری‌های گوارشی استفاده می‌شده است لیکن با پیشرفت‌های علم پزشکی بسیاری از خواص ناشناخته کورکومین شامل اثرات ضدتوموری، ضدمیکروبی و آنتی‌اکسیدانی نیز آشکار شده است که در طب نوین از این خواص اخیر کورکومین جهت پیشگیری و درمان کمکی انواع سرطان‌های کبد، پانکراس، دهان، معده، ریه، پوست، خون، پستان، پروستات، تخمدان، سر و گردن، بیماری‌های قلبی، کلیوی، کبدی، پارکینسون، آزاریم، مولتیپل اسکلروزیس و ایدز استفاده می‌شود [۳]. علی‌رغم اینکه اثرات حفاظتی کورکومین بر روی بافت کبد در برابر طیف وسیعی از آسیب‌های ناشی از زینوبیوتیک‌ها مشخص شده است [۴] لیکن ماندگاری و پایداری کورکومین اندک بوده و این موضوع تاثیرات سویی بر کاربرد درمانی زردچوبه دارد. از طرفی دیگر جذب خوراکی کورکومین محدود است

مواد مورد استفاده

در این مطالعه کورکومین به صورت بالک از شرکت مرک آلمان، سیلیمارین به صورت بالک از شرکت سیگما و نانومیسل کورکومین با اسم تجاری سیناکورکومین به صورت کپسولهای ۴۰ و ۸۰ میلی‌گرمی از شرکت ایرانی اکسیر نانو سینا سینا خریداری شده است. بر مبنای ادعای شرکت سازنده، با توجه به ماهیت لیپوفیل کورکومین، جذب خوراکی کورکومین در فرم‌های معمول خوراکی (پودر، کپسول و قرص) بسیار پایین است ولی در فرآورده سیناکورکومین، تمام کورکومین در بخش هیدروفوبیک نانومیسل‌های کورکومین محبوس می‌باشد. این نانومیسل‌های کروی شکل اندازه ذره‌ای حدود ۱۰ نانومتر دارند و باعث افزایش حلالت کورکومین در آب می‌شوند. پس از مصرف خوراکی، کپسول‌های سافت ژل حاوی نانومیسل نانومیسل‌های کورکومین در کمتر از ۱۵ دقیقه در محیط اسیدی معده باز و پخش می‌شوند. این نانومیسل‌ها در محیط اسیدی معده حداقل ۶ ساعت پایدارند و از بین نمی‌روند و به صورت دست نخورده به روده کوچک می‌رسند. نانومیسل‌ها پس از رسیدن به روده کوچک، موجب تسهیل انتقال کورکومین از لایه آبی که در سطح سلول‌های اپیتلیال روده‌ای وجود دارد و به عنوان سدی در برابر جذب ترکیبات محلول در چربی می‌باشد، عمل نموده و باعث افزایش جذب کورکومین از راه خوراکی می‌شوند. سایر مواد این مطالعه از جمله زایلن، کتابیون، فرمالدئید از شرکت مرک تهیه شد. کیت‌های سنجش Lactate، ALT، AST و لاتکتات دهیدروژناز dehydrogenase (LDH) محصولات شرکت طب گستران حیان بودند.

طراحی مطالعه

در این مطالعه تجربی موش‌های سوری نر ۴ الی ۶ هفتاهی در محدوده وزنی 20 ± 5 گرم (۴۸ سر) در قفس‌هایی از جنس فولاد ضدزنگ، در دمای کنترل شده اتاق با دمای (۲۲ درجه سانتی‌گراد) و دارای چرخه ۱۲ ساعته نور و تاریکی در حیوانخانه دانشکده داروسازی و علوم دارویی دانشگاه آزاد اسلامی نگهداری شدند. حیوانات در طول مطالعه دسترسی

[۱۲، ۱۳]. مصرف طولانی مدت و مزمن الكل همچنین باعث کاهش استرس اکسیداتیو و ظرفیت آنتی اکسیدانی کبد و موجب بروز لیپید پراکسیداسیون و آسیب جدی به غشاء سلول‌ها و ارگانل‌های این بافت و آزادسازی آلبیدهای فعال می‌شود که موجب فعال شدن فاکتورهای التهابی و اثرات پروفیبریتیک می‌گردد [۱۴]. با توجه به اهمیت کبد و نقش آن در متابولیسم زینوبیوتیک‌ها، خواص دارویی کورکومین و با توجه به اهمیت محصولات گیاهی مؤثر بر آسیب‌های کبدی، مطالعه حاضر به بررسی و مقایسه اثرات محافظتی کورکومین و فرم نانولیپوزomal کورکومین موجود در بازار کشور با اثرات محافظت کبدی گیاه خارمریم (Milk thistle) به عنوان کنترل مثبت می‌پردازد. این گیاه با اسم علمی *Silybum marianum* (L.) Gaerthn. تیره کاسنیان است که میوه آن حاوی مخلوطی از فلاونولیگنان فلامونولیگنان‌هاست که به عنوان سیلیمارین نام گرفته و ماده مؤثره اصلی آن سیلیبین است. در این مطالعه از فرم تجاری سیلیمارین استفاده شد که با برخورداری از اثرات ضدالتهابی و آنتی‌اکسیدانی قوی، خواص ترمیمی قابل توجهی بر بافت کبدی دارد و اثربخشی کلینیکی آن بر کبد الکلی، هپاتیت غیرغیرالکلی، هپاتیت ویرال، مسمومیت با قارچ‌های سمی و هپاتیت ناشی از داروها به اثبات رسیده [۱۵] و می‌تواند فرایند پیشرفت فیبرоз کبدی ناشی از مواجهه با تراکلریدکرین و سایر زینوبیوتیک‌ها را در موش صحرایی کنترل نماید [۱۶].

مواد و روش‌ها

وسائل و دستگاه‌ها

دستگاه آب دو بار تقطیر (فاطر اکترونیک) ایران، شیکر (Falc) (ایتالیا، ترازوی دیجیتال با دقت pH 100 µg (Sartorius) (Sartorius) آلمان، سانتریفیوژ یخچال‌دار (Sigma2K15) (Sigma2K15) آلمان، سانتریفیوژ اپندورف (Eppendorf) آلمان، اسپکتروفتوometر (Ultrasper2000UV، Pharmacia Biotech)، وسایل جراحی.

همزمان، درمان با کورکومین به میزان 100 mg/kg صورت گرفت.

گروه G₈: در این گروه به مدت ۶۰ روز تجویز اتانول با دوز 5 g/kg صورت گرفت و پس از روز بیستم، به طور همزمان، درمان با سیلیمارین به میزان 25 mg/kg صورت گرفت (شکل شماره ۱).

نمونه برداری

طی مطالعه و در پایان روز ۶۰، موش‌ها وزن شده و با تزریق داخل صفاقی مخلوط $1/5$ میلی لیتر کتابی 10 درصد و $1/5$ میلی لیتر زایلازین 2 درصد بیهوش شده، شکم باز شد و از ورید اجوف تحتانی مقدار $1/5$ میلی لیتر خون گرفته شد. این خون در درجه حرارت 4 درجه سانتی‌گراد به مدت 15 دقیقه با سرعت 3000 r/min سانتریفوژ شد؛ سپس قسمت فوکانی (supernatant) جمع‌آوری شده و در دمای -80°C نگهداری شد. در مرحله بعد کبد موش‌ها نیز برداشته شد و یک تکه از بافت لب راست کبد جدا شده و در فرمالین 10 درصد برای فیکس کردن نگهداری شد.

اندازه‌گیری مارکرهای کبدی ALT

اندازه‌گیری فعالیت آنزیم

ALT مسئول انتقال گروه آمین آلائین به $2-$ اکسوگلوتارات و تولید گلوتامات و پپروات می‌باشد. درنهایت پپروات در واکنش با $\text{NADH} + \text{H}^+$ ، تولید NAD^+ می‌کند. تغییر در نسبت NADH/NAD^+ ارتباط مستقیمی با میزان فعالیت ALT دارد. سنجش این آنزیم بر اساس روش Frankel-Reitman استفاده از معرف‌های شرکت زیست شیمی انجام شد. بر اساس این روش اسید آمینه آلائین توسط آنزیم SGPT به اسید آمینه پپروویک تبدیل می‌شود که با اضافه کردن یک معرف رنگی در محیط قلیایی تولید یک کمپلکس قهوه‌ای رنگ می‌کند که در طول موج 505 نانومتر قابل سنجش است.

آزاد به خوراک استاندارد و آب داشتند و تمام آزمایش‌های حیوانی این مطالعه، مطابق با راهنمای کار با حیوانات مصوب کمیته اخلاق دانشگاه و طبق دستورالعمل کار با حیوانات وزارت بهداشت، درمان و آموزش پزشکی انجام شد. گروه‌های مورد پژوهش به شرح زیر می‌باشد که در همه گروه‌ها، مطالعه طی مدت ۶۰ روز انجام شده [۱۷] و تجویز الكل، نانوکورکومین، کورکومین و سیلیمارین از طریق گواز خوراکی طی مدت ۲۰ روز القای سمیت کبدی و 40 روز تجویز همزمان ماده مورد آزمون و الكل صورت گرفت [۱۸]. در این مطالعه تمامی رقت‌های نانو کورکومین، کورکومین و سیلیمارین با نرمال سالین تهیه شد و در گروه کنترل منفی نیز صرفا نرمال سالین تجویز شد.

گروه‌بندی حیوانات

گروه G₁: به حیوانات این گروه به مدت ۶۰ روز نرمال سالین داده شده است.

گروه G₂: حیوانات این گروه به مدت ۶۰ روز، روزانه محلول 5 درصد اتانول با دوز 5 g/kg دریافت کردند [۱۴].

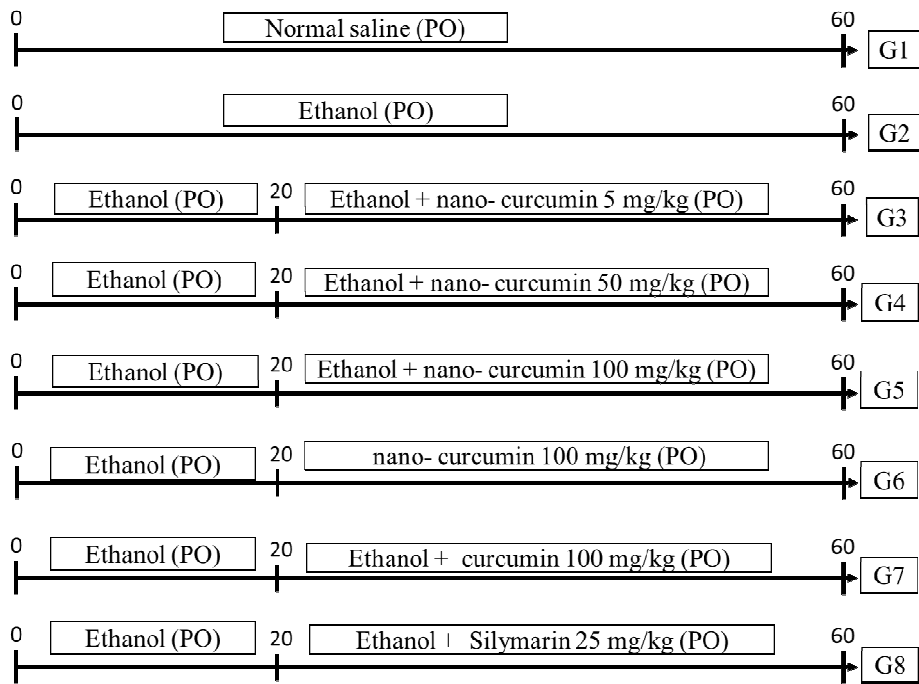
گروه G₃: در این گروه به مدت ۶۰ روز تجویز اتانول با دوز 5 g/kg صورت گرفت و از روز بیستم، به طور همزمان، درمان با نانو کورکومین به میزان 5 mg/kg صورت گرفت.

گروه G₄: در این گروه به مدت ۶۰ روز تجویز اتانول با دوز 5 g/kg صورت گرفت و از روز بیستم، به طور همزمان، درمان با نانو کورکومین به میزان 50 mg/kg صورت گرفت.

گروه G₅: در این گروه به مدت ۶۰ روز تجویز اتانول با دوز 5 g/kg صورت گرفت و از روز بیستم، به طور همزمان، درمان با نانو کورکومین به میزان 100 mg/kg صورت گرفت.

گروه G₆: در این گروه به مدت ۲۰ روز تجویز اتانول با دوز 5 g/kg صورت گرفت و از آن، مصرف الكل قطع شد و درمان با نانوکورکومین به میزان 100 mg/kg 100 تا روز 60 ادامه پیدا کرد.

گروه G₇: در این گروه به مدت ۶۰ روز تجویز اتانول با دوز 5 g/kg صورت گرفت و پس از آن، مصرف الكل قطع شد و درمان با نانوکورکومین به میزان 100 mg/kg 100 تا روز 60 ادامه پیدا کرد.



شکل شماره ۱ - طراحی شماتیک مطالعه بر اساس گروه‌بندی حیوانات، نوع و مدت مداخله

اندازه‌گیری آنزیم LDH

اندازه‌گیری LDH بر اساس روش Deutsche Gesellschaft für klinische Chemie (DGKC) مبنای تغییر پیروات به لاکتات است. کاهش میزان جذب در ۳۴۰ نانومتر، با توجه به اکسیداسیون NAD⁺ به NADH مستقیماً متناسب با فعالیت آنزیم است.

مطالعه هیستوپاتولوژیک: پس از فیکس کردن بافت‌ها در فرمالین ۱۰ درصد، بلوک‌های پارافینه از بافت‌ها تهیه و با ضحکانت ۵ میکرون برش داده شد. سپس رنگ‌آمیزی هماتوکسیلین و آوزین جهت بررسی آسیب‌های پاتولوژیک انجام شد. در این مطالعه تغییرات هیستوپاتولوژیک بافت کبد با استفاده از سیستم Ishak امتیازدهی شده است که نتایج حاصل از آن با توجه به شدت فیروز، نکروز و هپاتیت به ترتیب ارزیابی شده است.

آنالیز آماری: داده‌ها به شکل متغیرهای پیوسته با توزیع نرمال بودند که برای هر یک از متغیرها میانگین \pm انحراف معیار از ۳ نمونه در هریک از گروه‌های ۸ گانه انجام شد. برای آنالیز آماری از ANOVA یک طرفه به همراه آزمون

اندازه‌گیری فعالیت آنزیم AST

اندازه‌گیری آنزیم آسپارتات آمینوترانسفراز یا گلوتامیک اگزال استیک ترانس آمیناز در خون بر اساس روش International Federation of Clinical Chemistry (IFCC) انجام گرفت. کاهش میزان نسبت NADH/NAD⁺ ارتباط مستقیمی با میزان فعالیت AST دارد. سنجش این آنزیم بر اساس روش Frankel-Reitman و با استفاده از معرفهای شرکت زیست شیمی انجام شد.

اندازه‌گیری ALP

روش اندازه‌گیری به صورت Endpoint و با استفاده از معرفهای شرکت زیست شیمی انجام شد که بر اساس این مکانیسم، آنزیم در مجاورت یک محلول سوبسترا به نام (DEA) p-Nitrophenylphosphate و بافر Diethanolamine می‌تواند سوبسترا را هیدرولیز کند و تولید محصول زرد رنگ به نام p-Nitrophenol نماید. جذب نوری در طول موج ۴۰۵ نانومتر اندازه‌گیری می‌شود. در این واکنش یون منیزیم به آنزیم کمک می‌کند.

گروه G2 سبب افزایش معنادار سطح فاکتورهای بیوشیمیابی LDH (جدول شماره ۲)، ALT (جدول شماره ۳)، AST (جدول شماره ۴) و ALP (جدول شماره ۵) نسبت به گروه کنترل شد ($P < 0.05$) که نشان دهنده موفقیت مدل در ایجاد کبد الكلی بوده است اما تجویز نانو کورکومین با دوز ۵ mg/kg از روز ۲۰ تجویز همزمان با الكل بر اساس داده های این جداول سبب کاهش سطح آسیب کبدی و کاهش سطح فاکتورهای بیوشیمیابی آسیب کبدی در گروه G3 نشد. گرچه تجویز نانوکورکومین در در دوزهای ۵۰ و ۱۰۰ mg/kg در گروه G4 و G5 سبب کاهش نسبی سطح فاکتورهای مورد بررسی نسبت به گروه مصرف کننده الكل به تنها ی ۲ شده اما این تفاوت باز هم از نظر آماری معنادار نبود لیکن در گروه G6 که نانوکورکومین در روز ۲۰ مطالعه پس از قطع مصرف الكل تجویز شد مارکرهای بیوشیمیابی کاهش معناداری در مقایسه با گروه ۲ نشان داد ($P < 0.05$). همچنین مصرف کورکومین در گروه G7 باعث کاهش معنی دار سطح فاکتورهای ALT و LDH (جدول شماره های ۲ تا ۵) در گروه های مصرف کننده سیلیمارین و الكل و کورکومین و الكل به طور همزمان، کاهش معناداری در سطح آنزیم های ALT و AST نسبت به گروه دریافت کننده الكل به تنها ی وجود داشت ($P < 0.05$) (جدول شماره های ۲ تا ۵).

Independent Samples Test استفاده شد. میزان $0.05 < P$ به عنوان اختلاف معنادار آماری در نظر گرفته شد.

نتایج

تغییرات وزن

اگرچه تجویز دوز الكل به مقدار ۵ g/kg به مدت ۶۰ روز به موش های دریافت کننده سبب افزایش وزن حیوان شد ولی این اختلاف از نظر آماری با گروه کنترل معنادار نبود ($P = 0.691$). در این مطالعه تجویز نانوکورکومین در هر سه دوز انتخابی هیچ گونه تغییر معنی داری در وزن حیوانات ایجاد نکرد و همین موضوع در رابطه با گروه تحت درمان با کورکومین و سیلیمارین نیز سبب تغییر معنادار وزن حیوانات نسبت به کنترل و یا گروه دریافت کننده الكل نشد ($P = 0.589$). همچنین در اندازه گیری وزن کبد، نانوکورکومین، کورکومین و سیلیمارین سبب کاهش یا افزایش معنادار وزن کبد نسبت به گروه کنترل یا گروه دریافت کننده الكل نشدند ($P = 0.731$). جدول شماره ۱ نشان دهنده وزن کبد و وزن موش ها قبل از شروع مطالعه و وزن آنها در پایان مطالعه است.

فاکتورهای بیوشیمیابی

همان طور که در جدول شماره ۲ الی ۵ به تفضیل ذکر شده است، تجویز الكل به مدت ۶۰ روز به موش های سوری در

جدول شماره ۱- میانگین وزن بدنه حیوانات و وزن کبد در گروه های مورد مطالعه

گروه ها	مداخله	حساب گرم در پایان مطالعه	میانگین وزن کامل بدنه	برحسب گرم قبل از شروع مداخله	میانگین وزن کامل بدنه حیوان در پایان مداخله	برحسب گرم در پایان مداخله	نسبت وزن کبد به وزن بدنه
G1	Normal salin	$1/92 \pm 0.4$	20 ± 1	$32/66 \pm 2/6$	$32/66 \pm 2/6$	0.058 ± 0.004	
G2	Alcohol	$2/14 \pm 0.39$	21 ± 2	$40/33 \pm 9/07$	$40/33 \pm 9/07$	0.053 ± 0.009	
G3	Alcohol+ NC 5	$2/09 \pm 0.27$	20 ± 1	37 ± 1	37 ± 1	0.053 ± 0.006	
G4	Alcohol + NC 50	$1/80 \pm 0.02$	19 ± 3	34 ± 1	34 ± 1	0.056 ± 0.003	

ادامه جدول شماره ۱

گروه‌ها	مداخله	میانگین وزن کامل بدن بر حسب گرم در پایان مطالعه	میانگین وزن کامل بدن برحسب گرم قبل از شروع مداخله	میانگین وزن کامل بدن برحسب گرم در پایان مداخله	نسبت وزن کبد به وزن بدن حیوان در پایان مداخله
G5	Alcohol + NC100	۱/۹۲ ± ۰/۱۵	۲۰ ± ۱	۳۴/۶۶ ± ۴/۱	۰/۰۵۵ ± ۰/۰۰۲
G6	Alcohol+ NC100	۲/۱۴ ± ۰/۲۳	۲۰ ± ۲	۴۰ ± ۱/۷	۰/۰۵۳ ± ۰/۰۰۳
G7	Alcohol + C 100	۱/۸۳ ± ۰/۱۱	۲۰ ± ۲	۳۶ ± ۳	۰/۰۴۸ ± ۰/۰۰۲
G8	Alcohol + silymarin	۱/۹۲ ± ۰/۲۶	۲۱ ± ۱	۳۷ ± ۴/۳	۰/۰۵۱ ± ۰/۰۰۴

جدول شماره ۲- میانگین سطح AST (U/L) در گروه‌های مورد مطالعه

گروه‌ها	مداخله	آسپارات آمینوترانسفراز (AST)	p-value *
G1	Normal salin	۶۳/۴ ± ۲/۵	
G2	Alcohol	۷۳/۳ ± ۴/۹	۰/۰۳۲ ^۱
G3	Alcohol+ NC 5	۷۴/۱ ± ۶	۰/۹۳
G4	Alcohol + NC 50	۶۸/۱ ± ۴	۰/۴۵
G5	Alcohol + NC100	۶۸/۱ ± ۵/۲	۰/۲
G6	Alcohol+ NC100	۶۲/۳ ± ۳	۰/۰۲
G7	Alcohol + C 100	۶۰/۷ ± ۳/۷	۰/۰۲
G8	Alcohol + silymarin	۶۳/۱ ± ۳/۹	۰/۰۴

^۱: مقایسه نسبت به گروه نرمال سالین (G) صورت گرفته است.

*: مقایسه با گروه G ۲ صورت گرفته است.

جدول شماره ۳- میانگین سطح ALT (U/L) در گروه‌های مورد مطالعه

گروه‌ها	مداخله	آلانین آمینوترانسفراز (ALT)	p-value *
G1	Normal salin	۳۱/۶ ± ۳/۱	-
G2	Alcohol	۳۸/۱ ± ۲/۸	۰/۰۵ ^۱
G3	Alcohol+ NC 5	۳۸/۱ ± ۳	۰/۹۸
G4	Alcohol + NC 50	۳۴/۲ ± ۴/۴	۰/۳
G5	Alcohol + NC100	۳۴/۲ ± ۱/۷	۰/۱
G6	Alcohol+ NC100	۳۰/۲ ± ۳/۱	۰/۰۳
G7	Alcohol + C100	۲۷/۸ ± ۵/۴	۰/۰۴
G8	Alcohol + silymarin	۳۳/۱ ± ۲/۸	۰/۰۹

^۱: مقایسه نسبت به گروه نرمال سالین (G) صورت گرفته است.

*: مقایسه با گروه G ۲ صورت گرفته است.



جدول شماره ۴- میانگین سطح (U/L) ALP در گروههای مورد مطالعه

گروهها	مداخله	آلکالین فسفاتاز (ALP)	p-value *
G1	Normal salin	۱۱۹ ± ۶	-
G2	Alcohol	۱۲۶/۷ ± ۲/۴	۰/۱۹۸ ^۱
G3	Alcohol+ NC 5	۱۲۶ ± ۳/۸	۰/۸۴
G4	Alcohol + NC 50	۱۲۴/۶ ± ۲/۱	۰/۲۶
G5	Alcohol + NC 100	۱۲۴/۶ ± ۳/۲	۰/۴
G6	Alcohol+ NC100	۱۲۱/۹ ± ۳/۷	۰/۱
G7	Alcohol + C 100	۱۲۰/۹ ± ۲/۵	۰/۰۴
G8	Alcohol + silymarin	۱۲۳/۱ ± ۲/۷	۰/۱

^۱: مقایسه نسبت به گروه نرمال سالین (G) صورت گرفته است.

*: مقایسه با گروه ۲ G صورت گرفته است.

جدول شماره ۵- میانگین سطح (U/L) LDH در گروههای مورد مطالعه

گروهها	مداخله	لакتات دهیدروژناز (LDH)	p-value *
G1	Normal salin	۰/۱۶ ± ۰/۰۳	
G2	Alcohol	۰/۲۳ ± ۰/۰۴	۰/۰۸۳ ^۱
G3	Alcohol+ NC 5	۰/۲۳ ± ۰/۰۴	۰/۹۳
G4	Alcohol + NC 50	۰/۰۱۷ ± ۰/۰۱۷	۰/۳۷
G5	Alcohol + NC 100	۰/۱۷ ± ۰/۰۱۵	۰/۰۹
G6	Alcohol+ NC 100	۰/۱۴ ± ۰/۰۳	۰/۰۴*
G7	Alcohol + C 100	۰/۱۴ ± ۰/۰۴	۰/۰۶
G8	Alcohol + silymarin	۰/۱۵ ± ۰/۰۳	۰/۰۶

^۱: مقایسه نسبت به گروه نرمال سالین (G) صورت گرفته است.

*: مقایسه با گروه ۲ G صورت گرفته است.

(G۲). در گروه G۳ (الکل و نانوکورکومین ۵ mg/kg)، حضور سلولهای التهابی در اطراف فضای پورت، نکروز و تغیرات دژنراتیو در اطراف هپاتوسیت‌ها به وضوح عدم کار آبی این دوز از نانوکورکومین به عنوان یک عامل حفاظت‌کننده کبد را نشان داد (شکل ۱- G۳). تغیرات هیستوپاتولوژی در گروه G۴ (الکل و نانوکورکومین ۵۰ mg/kg به طور همزمان) نیز همچنان دیده شد و مشاهده سلولهای التهابی تک هسته‌ای اطراف ورید مرکزی، تغیرات دژنراتیو و آپوپتوز در هپاتوسیت‌ها دلالت بر عدم کار آبی این دوز از نانوکورکومین به عنوان یک عامل حفاظت‌کننده کبد داشت (شکل شماره ۱- G۴). تغیرات هیستوپاتولوژی در گروه

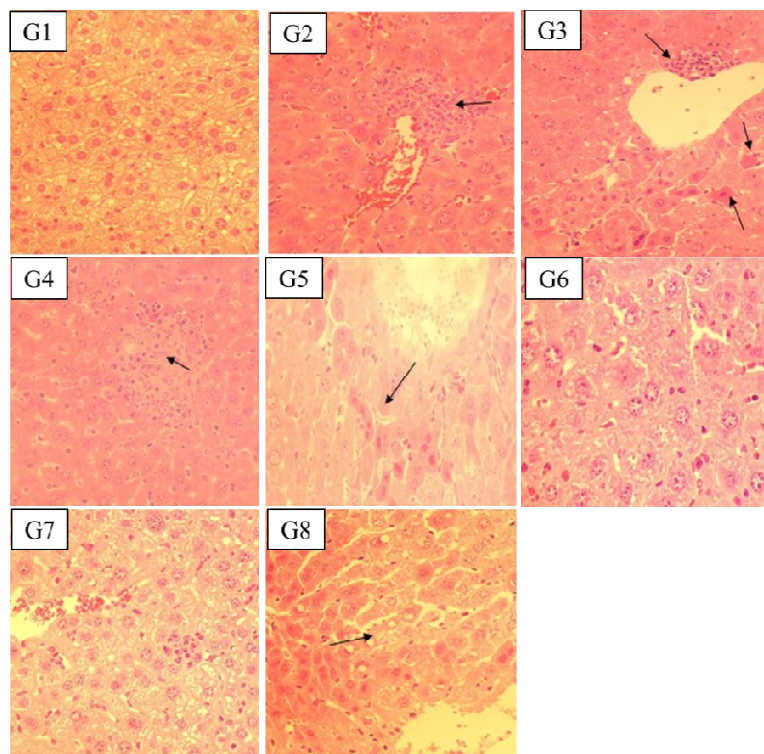
مطالعه هیستوپاتولوژیک

در پایان مطالعه پس از انجام مطالعات هیستو پاتولوژی در گروه کنترل G1 اثری از نکروز، التهاب و فیبروز بافتی مشاهده نشد و هپاتوسیت‌ها کاملاً طبیعی گزارش شد (شکل شماره ۱- G۱). در گروه G۲ (اتanol ۵ g/kg)، نکروز مولتی فوکال هپاتوسیت‌ها (Multifocal hepatocyte necrosis) در بافت کبد مشاهده شد. همچنین در این گروه تعداد سلولهای التهابی تک هسته‌ای (Mononuclear) در اطراف فضای پورتال افزایش یافته و سلولهای خونی از جمله اریتروسیت و میلولئید در فضای پورت قابل مشاهده بودند (شکل شماره ۱-



به گروه کنترل G1 بود و مشابه گروه G6 نمای طبیعی از بافت کبد مشاهده شد (شکل شماره ۱ - G7). در گروه G8 (سیلی مارین همزمان با مصرف الکل)، تغییر هیستوپاتولوژیک نزدیک به گروه کنترل G1 بوده و در این گروه نیز نمای طبیعی از بافت کبد مشاهده شده است (شکل شماره ۱ - G8). مجموعاً نتایج این بخش نشان دهنده قابلیت مناسب و قابل مقایسه حفاظت کبدی در کورکومین و سیلی مارین بود، حال آنکه نانو کورکومین قابلیت ویژه‌ای را در ترمیم ضایعات کبدی ناشی از سمیت کبدی ناشی از مصرف مزمن اتابول نشان داد.

G5 (الکل و نانوکورکومین ۱۰۰ mg/kg به طور همزمان) مجلداً با دژنراسیون عروق هپاتوسیت‌ها و نکروز در اطراف ورید مرکزی و آپوپتوز در هپاتوسیت‌ها همراه بود (شکل شماره ۱ - G5). اما در گروه G6 (تجویز نانوکورکومین ۱۰۰ mg/kg پس از قطع مصرف الکل)، تغییرات هیستوپاتولوژیک نسبت به گروه دریافت‌کننده الکل به وضوح مشاهده شده و در این گروه نمای طبیعی از بافت کبد مشاهده شد (شکل شماره ۱ - G6). در گروه G7 (کورکومین ۱۰۰ mg/kg به طور همزمان با مصرف الکل)، تغییر هیستوپاتولوژیک نزدیک



شکل شماره ۱- تغییرات هیستوپاتولوژیک کبد در ۸ گروه مورد مطالعه

G1: هپاتوسیت‌ها کاملاً طبیعی G2: نکروز مولتی فورکال هپاتوسیت‌ها (Multifocal hepatocyte necrosis) در بافت کبد به انضمام سلول‌های التهابی تک هسته‌ای (Mononuclear) در اطراف فضای پورتال و سلول‌های خونی از جمله اریتروسیت و میلوبنید. G3: سلول‌های التهابی در اطراف فضای پورت، نکروز و تغییرات دژنراتیو در اطراف هپاتوسیت‌ها G4: سلول‌های التهابی تک هسته‌ای اطراف ورید مرکزی، تغییرات دژنراتیو و آپوپتوز در هپاتوسیت‌ها، G5: دژنراسیون عروق هپاتوسیت‌ها و نکروز در اطراف ورید مرکزی و آپوپتوز در هپاتوسیت‌ها G6: نمای طبیعی از بافت کبد، G7: نمای طبیعی از بافت کبد، G8: نمای طبیعی از بافت کبد



بحث

می شود که یک مدیاتور اساسی در ترمیم ضایعات کبدی است [۲۳].

در این مطالعه با استفاده از تجویز خوراکی اتانول در موش سوری نر در یک مدل ۶۰ روزه، به استناد افزایش سطح انزیم های عملکرد کبدی ALT و AST و تغییرات هیستوپاتولوژیک واضح (شکل شماره ۱) سندروم کبد الکلی مزمن ایجاد شد [۱۵]. اگرچه نمی توان نتایج مربوط به یکی از گروه های مطالعه (که تنها ۲۰ روز الکل دریافت کرده اند) را با گروه های دیگر مطالعه که ۶۰ روز اتانول دریافت کرده بودند، مقایسه کرد اما به هر شکل اثر بخشی نانوکورکومین در این طراحی به طور همزمان بر آسیب های کوتاه مدت و بلند مدت اتانول مورد مقایسه قرار گرفت. در القای مدل سمیت کبدی ناشی از تجویز اتانول، مطالعات زیادی وجود دارند که بر اساس جمیع تحقیقات می توان به افزایش سطح سرمی مارکرهای عملکرد کبدی بویژه ALT و تغییرات هیستوپاتولوژیک به منظور اثبات کار آمدی مدل استناد نمود و تغییر قابل قبول در این شاخص در این مطالعه به طور کامل تحقق پیدا کرد که در تجویز های ۲۰ و ۶۰ روزه مشاهده شد.

در مطالعه ای که توسط Huang QH و همکاران در سال ۲۰۱۷ صورت گرفت، حیوانات مورد مطالعه با دوز ۷ mg/kg هر ۱۲ ساعت (۵ تکرار) الکل دریافت کردند. نتایج نشان دادند که میزان آنزیم های کبدی ALT، AST، ALP و LDH به طور معناداری در گروه دریافت کننده الکل بیشتر از گروه کنترل بودند [۱۶]. اگرچه این مدل با افزایش قابل توجه ALP و LDH از کار آمدی بیشتری نسبت به مدل القای سمیت کبدی نسبت به این مطالعه برخوردار بود لیکن مدل ایجاد شده با توجه به جمیع فرضیات تحقیق مبنی بر ارزیابی تأثیرات پیشگیرانه و درمانی نانوکورکومین در مقایسه با کورکومین و سیلی مارین پاسخگو بود.

در این مطالعه مصرف نانوکورکومین، کورکومین و سیلی مارین در کبد، سبب ایجاد تغییرات معنی داری در وزن حیوانات، وزن کبد حیوانات و نسبت وزن کبد به وزن حیوان نشد. در مطالعه Hassan و همکاران در سال ۲۰۱۴، اثر نانوکورکومین در کبد موش های سرطانی با

اگرچه مکانیسم دقیق کورکومین در خصوصیات کاهش آسیب آسیب های کبدی ناشی از مواجهه غیر متعارف با زینو بیوتیک ها تا حد زیادی ناشناخته باقی مانده است، لیکن در منابع اخیر مکررا نسبت به قابلیت های کورکومین در افزایش ظرفیت آنتی اکسیدانی بدن در برابر واکنشگرهای فعل اکسیژن (Reactive oxygen species-ROS) از قبیل گلوتاکنون اشاره شده است. یکی از اصلی ترین مکانیسم های حفاظتی کورکومین جلوگیری از تشکیل رادیکال های آزاد ناشی از مواجهه با سموم و عوامل خارجی است که بخشی از آن از طریق مهار برخی از ایزو آنزیم های سیتوکروم P450 CYP2E1 (CYP450) Cytochrome P450 از جمله مهار کنندگی رشد تومور به واسطه نقش قابل توجه آن بر مهار Vascular endothelial growth factor (VEGF) بیان ژن فاکتور رشد اندوتیال عروقی است [۲۱].

با این وجود، اگرچه تأثیرات کورکومین بر هپاتوسیت ها به عنوان یک راهکار غالب بر محدودیت های درمانی موجود جهت پیشگیری و درمان آسیب های کبدی ناشی از الکل و یا سایر عوامل هپاتوتوكسیک از جمله فیروز القا شده توسط CCl₄ در کبد موش صحرابی عنوان شده است [۲۲]، لیکن جذب محدود، فراهمی زیستی ناچیز، متابولیسم سریع و عوارض جانبی ترکیب در دوز های بالا، عدم محدودیت هایی هستند که اثر بخشی کلینیکی آن را دچار مشکل نموده و محققان و صنایع داروسازی را بر آن داشته تا با استفاده از فناوری نانو و تولید کورکومین نانو میسلا، در پی رفع این مشکل و افزایش کار آمدی کورکومین با انکا بر مکانیسم اثر اصلی آن و با تأکید بر اصلاح نقطه ضعف ماده در جذب سیستمیک آن باشند [۱۶]. اگرچه مطالعات محدودی در خصوصیات مکانیسم اثرات حفاظت کبدی نانو کورکومین در مقایسه با کورکومین وجود دارد، ثابت شده است که نانوکورکومین علاوه بر برخورداری از قابلیت های کورکومین به صورت مستقیم سبب القای آپوپتوز و القای بیان Peroxisome فعال کننده پرولیفراسیون پروکسی زوم proliferator-activated receptor gamma (PPAR-γ)



این ترکیب در کترول و کاهش معنی دار LDH (جدول شماره ۵) نسبت به سیلیمارین که به عنوان شاخص ترین ترکیب محافظت کننده کبدی در بازارهای دارویی ایران و جهان مطرح است، دستاورد اختصاصی و مهم مطالعه حاضر است. با توجه به اهمیت کلینیکی آنزیم LDH و سایر آنزیم های کبدی مورد مطالعه در این طراحی، لازم است این قابلیت در مدل های سمیت کبدی ناشی از سایر سموم در مقایسه با عوامل محافظت کننده کبدی دیگر جهت مصارف گسترده تر و مؤثر تر کلینیکی مورد ارزیابی های بیشتر قرار گیرد.

علاوه بر آسیب های کبدی که به تفضیل مورد بحث قرار گرفت، لاکات دهیدروژنаз در مقایسه با سایر آنزیم های کبدی از ارزش بسیار بالای تشخیصی بخصوص در بیماران سلطانی برخوردار است. سلول های سلطانی، آنزیم های داخل سلولی مختلفی را بواسطه تخریب جداره سلولی آزاد می کنند که عمده تر متهی به تغییر در عملکرد میتوکندریائی شده، روند اپاپتووزیس را دچار اختلال می کنند. این وضعیت نه تنها در مدل های برون تنی، بلکه در مدل های درون تنی نیز به اثبات رسیده است. لذا لاکات دهیدروژناز به عنوان اندیکاتور بسیار حساس به متاپولیسم درون سلولی، گلیکولیز هوایی و بی هوایی و ترانسفورماتیون سلولی تلقی می شود. با این تفاسیر، این آنزیم یک شاخص اولیه جهت تشخیص زودرس سلطان و مهار آن به عنوان یک مکانیسم قابل اعتماد جهت پیشگیری از بروز تومور است که برای نخستین بار در این مطالعه حیوانی به اثبات رسیده است [۲۶]. مضاف بر این قابلیت، نقش LDH در پیش بینی پاسخ دهنی به داروهای جدید هپاتوسلولار کارسینوما از جمله سورافینیب (Sorafenib) (پیشنهاد شده است که رابطه مستقیم با میزان آنزیوژنیس تومور دارد که می تواند نقش مضاعف این ترکیب را به عنوان مکمل ویژه در تومورهای کبدی با سطح بالای LDH به عنوان گروه درمانی پاسخ دهنده به نانوکورکومین مطرح نماید [۲۷].

نتیجه گیری

نانوکورکومین می تواند در دوزهای محدود و کمتر از ۱۰۰ mg/kg به عنوان یک جایگزین مناسب درمان های روئین

Diethylnitrosamine بررسی شد. در این مطالعه نیز طی دوره مواجهه تغییری در وزن کبد در گروه های مورد مطالعه طی درمان مشاهده نشد [۲۴] که با نتایج این مطالعه هماهنگی دارد که یکی از نقاط قدرت این مطالعه محسوب می شود. بر اساس پیش آزمون های قبلی دوز مطالعه برای این فرآورده به درستی محاسبه شده و به جهت ضرورت اعتبار تحقیق عملاً تغییری در وزن کبد موش های دریافت کننده ایجاد نکرده است. اگرچه در گروه های کترول مثبت مطالعه حاضر، یعنی حیوانات دریافت کننده سیلیمارین و کورکومین، وزن کبدها عملاً نسبت به گروه دریافت کننده الكل کمتر بود ولی این اختلاف هم معنادار نبود اما مطالعات قبلی نشان داده اند که مصرف دوز های بسیار بالای زرد چوبه در طول ۲ هفته و کورکومین در طول ۷ روز می تواند کاهش قابل توجهی در وزن کبد ایجاد کند [۱۹]. Safari R و همکارانش نشان دادند که نانوکورکومین به تنهایی نمی تواند سبب کاهش یا افزایش وزن کبد نسبت به گروه های دریافت کننده یک ماده توکسیک دیگر (salinomycin) شود که با نتایج مطالعه حاضر مطابقت دارد [۲۲].

در مطالعه R و همکاران دوز روزانه ۲۰۰ mg/kg نانوکورکومین سبب کاهش سطح آنزیم AST شد که طی مصرف Salinomycin در کبد جوجه ایجاد شده بود [۲۶]. در مطالعه حاضر مصرف نانوکورکومین به دلیل مطالعات قبلی در دوز های کمتری صورت گرفت که علی رغم بی تأثیر بودن دوز دوز های ۵ و ۵۰ دوز روزانه ۱۰۰ میلی گرم به ازای هر کیلو گرم وزن بدن پس از قطع تجویز الكل سبب کاهش معنادار سطح آنزیم AST نسبت به گروه دریافت کننده الكل و با نتایج قابل قبول و مشابهی با کورکومین و سیلیمارین همراه بود اما در مواردی که تجویز نانوکورکومین همزمان با تجویز الكل بوده است این اختلاف معنادار نبود. اگرچه در سایر مطالعات [۲۰، ۲۵]، استفاده از کورکومین به عنوان یک ماده حفاظتی سبب کاهش سطح AST و ALT همچنین بهبود پارامترهای هیستوپاتولوژی حتی در آسیب ناشی از تراکلرید کرین شده است، لیکن با این مطالعه نمی توان نسبت به قابلیت های مضاعف نانوکورکومین نانومسیلار در بهبود ضایعات کبدی ناشی از سایر زینوبیوتیک ها قضاوت نمود اما قابلیت افتراقی

مقایسه با کورکومین و سیلیمارین برخوردار است بلکه می‌می‌تواند به طور افتراقی سطح LDH را کاهش بخشد که دریچه دیگری را برروی قابلیت‌های کلینیکی ویژه این فرآورده در انواع بدخیمی می‌گشاید. اثبات این مهم نیازمند انجام مطالعات تکمیلی است.

در کاهش آسیب‌های کبدی مدنظر قرار گیرد که این قابلیت به به تفصیل در این مطالعه مورد مقایسه با دوزهای متعارف تحقیقات حیوانی دو فراورده کورکومین و سیلیمارین به عنوان داروهای رایج محافظت کننده و ترمیم‌کننده آسیب‌های کبدی بررسی شد. بر اساس شواهد کلینیکی، پاراکلینیکی و هیستوپاتولوژیک نانوکورکومین نه تنها از اثر بخشی قابل

منابع

1. Monton C, Charoenchai L, Suksaeree J and Sueree L. Quantitation of curcuminoid contents, dissolution profile, and volatile oil content of turmeric capsules produced at some secondary government hospitals. *J. Food Drug Anal.* 2016; 24 (3): 493 - 9.
2. Lee W-H, Loo C-Y, Bebawy M, Luk F, Mason RS and Rohanizadeh R. Curcumin and its derivatives: their application in neuropharmacology and neuroscience in the 21st century. *Curr. Neuropharmacol.* 2013; 11 (4): 338 - 78.
3. Girish C and Pradhan SC. Drug development for liver diseases: focus on picroliv, ellagic acid and curcumin. *Fundam. Clin. Pharmacol.* 2008; 22 (6): 623 - 32.
4. Wu P, Huang R, Xiong YL and Wu C. Protective effects of curcumin against liver fibrosis through modulating DNA methylation. *Chin. J. Nat. Med.* 2016; 14 (4): 255 - 64.
5. Yang K-Y, Lin L-C, Tseng T-Y, Wang S-C and Tsai T-H. Oral bioavailability of curcumin in rat and the herbal analysis from Curcuma longa by LC-MS/MS. *J. Chromatogr B: Analyt. Technol. Biomed. Life Sci.* 2007; 853 (1 - 2). 183-9.
6. Tønnesen HH, Másson M and Loftsson T. Studies of curcumin and curcuminoids. XXVII. Cyclodextrin complexation: solubility, chemical and photochemical stability. *Int. J. Pharm.* 2002; 244 (1 - 2): 127 - 35.
7. Jäger R, Lowery RP, Calvanese AV, Joy JM, Purpura M and Wilson JM. Comparative absorption of curcumin formulations. *Nutr. J.* 2014; 13: 11.
8. Lee WH, Loo CY, Young PM, Traini D, Mason RS and Rohanizadeh R. Recent advances in curcumin nanoformulation for cancer therapy. *Expert Opin. Drug Deliv.* 2014; 11 (8): 1183 - 201.
9. Yallapu MM, Jaggi M and Chauhan SC. Curcumin nanoformulations: a future nanomedicine for cancer. *Drug Discov. Today* 2012; 17 (1 - 2): 71 - 80.
10. Song Z, Deaciuc I, Song M, Lee DYW ,Liu Y, Ji X, and et al. Silymarin Protects Against Acute Ethanol-Induced Hepatotoxicity in Mice. *Alcohol. Clin. Exp. Res.* 2006; 30 (3): 407 - 13.
11. Seitz HK, Lieber CS, Stickel F, Salaspuro M, Schlemmer HP and Horie Y. Alcoholic liver disease: from pathophysiology to therapy. *Alcohol. Clin. Exp. Res.* 2005; 29 (7): 1276 - 81.
12. Seth D, Hogg PJ, Gorrell MD, McCaughan GW and Haber PS. Direct effects of alcohol on hepatic fibrinolytic balance: implications for alcoholic liver disease. *J. Hepatol.* 2008; 48 (4): 614 - 27.



- 13.** Barry R and McGivan J. Acetaldehyde alone may initiate hepatocellular damage in acute alcoholic liver disease. *Gut*. 1985; 26 (10): 1065 - 9.
- 14.** Bertola A, Mathews S, Ki SH, Wang H and Gao B. Mouse model of chronic and binge ethanol Feeding (the NIAAA model). *Nat. Protoc.* 2013; 8 (3): 627 - 37.
- 15.** Abenavoli L, Izzo AA, Milić N, Cicala C, Santini A and Capasso R. Milk thistle (*Silybum marianum*): A concise overview on its chemistry, pharmacological, and nutraceutical uses in liver diseases. *Phytother. Res.* 2018; 2202-2213.
- 16.** Clichici S, Olteanu D, Nagy AL, Oros A, Filip A and Mircea PA. Silymarin inhibits the progression of fibrosis in the early stages of liver injury in CCl₄-treated rats. *J. Med. Food*. 2015; 18 (3): 290 - 8.
- 17.** Rabelo ACS, de Pádua Lúcio K, Araújo CM, de Araújo GR, de Amorim Miranda PH, Carneiro ACA, de Castro Ribeiro ÉM, de Melo Silva B, de Lima WG and Costa DC. Baccharis trimera protects against ethanol induced hepatotoxicity in vitro and in vivo. *J. Ethnopharmacol.* 2018; 215: 1 - 13.
- 18.** Boyanapalli SSS, Huang Y, Su Z, Cheng D, Zhang C, Guo Y, Rao R, Androulakis IP and Kong AN. Pharmacokinetics and Pharmacodynamics of Curcumin in regulating anti-inflammatory and epigenetic gene expression. *Biopharm. Drug Dispos.* 2018; 39 (6): 289-297.
- 19.** Huang QH, Xu LQ, Liu YH, Wu JZ, Wu X, Lai XP, Li YC, Su ZR, Chen JN and Xie YL. Polydatin Protects Rat Liver against Ethanol-Induced Injury: Involvement of CYP2E1/ROS/Nrf2 and TLR4/NF-κB p65 Pathway. *Evid Based Complement Alternat Med.* 2017; 7953850. <https://www.ncbi.nlm.nih.gov/pubmed/>
- 20.** Joshi D, Mittal DK, Shukla S, Srivastav SK and Dixit VA. Curcuma longa Linn. extract and curcumin protect CYP 2E1 enzymatic activity against mercuric chloride-induced hepatotoxicity and oxidative stress: A protective approach. *Exp. Toxicol. Pathol.* 2017; 69: 373 - 82.
- 21.** Fu Z, Chen X, Guan S, Yan Y, Lin H and Hua ZC. Curcumin inhibits angiogenesis and improves defective hematopoiesis induced by tumor-derived VEGF in tumor model through modulating VEGF-VEGFR2 signaling pathway. *Oncotarget*. 2015; 14; 6 (23): 19469 - 82.
- 22.** Fu Y, Zheng S, Lin J, Ryerse J and Chen A. Curcumin protects the rat liver from CCl₄-caused injury and fibrogenesis by attenuating oxidative stress and suppressing inflammation. *Mol. Pharmacol.* 2008; 73 (2): 399 - 409.
- 23.** Lin J and Chen A. Activation of peroxisome proliferator-activated receptor-γ by curcumin blocks the signaling pathways for PDGF and EGF in hepatic stellate cells. *Lab. Invest.* 2008; 88 (5): 529 - 40.
- 24.** Hassan SK, Mousa AM, Eshak MG, Farrag A and Badawi A. Therapeutic and chemopreventive effects of nano curcumin against diethylnitrosamine induced hepatocellular carcinoma in rats. *Int. J. Pharm. Pharm. Sci.* 2014; 6 (3): 54.
- 25.** Girish C, Koner BC, Jayanthi S, Ramachandra Rao K, Rajesh B and Pradhan SC. Hepatoprotective activity of picroliv, curcumin and ellagic acid compared to silymarin on paracetamol induced liver toxicity in mice. *Fundam. Clin. Pharmacol.* 2009; 23 (6): 735 - 45.
- 26.** Sayrafi R, Hosseini S and Ahmadi M. The protective effects of nanocurcumin on liver toxicity induced by salinomycin in broiler chickens. *Revue de Medecine Veterinaire* 2017; 168 (7 - 9): 136 - 42.
- 27.** Mathews V, Binu P, Paul MS, Abhilash M, Manju A and Nair RH. Hepatoprotective efficacy



of curcumin against arsenic trioxide toxicity. *Asian Pac. J. Trop. Biomed.* 2012; 2 (2): S706 - S11.

28. García-Niño WR and Pedraza-Chaverri J. Protective effect of curcumin against heavy metals-induced liver damage. *Food Chem. Toxicol.* 2014; 69: 182 - 201.

29. Jurisic V, Radenkovic S and Konjevic G. The Actual Role of LDH as Tumor Marker, Biochemical and Clinical Aspects. *Adv. Exp. Med.*

Biol. 2015; 867: 115 - 24.

30. Faloppi L, Scartozzi M, Bianconi M, Svegliati Baroni G, Toniutto P, Giampieri R, Del Prete M, De Minicis S, Bitetto D, Loretelli C, D'Anzeo M, Benedetti A and Cascinu S. The role of LDH serum levels in predicting global outcome in HCC patients treated with sorafenib: implications for clinical management. *BMC Cancer.* 2014; 14: 110.

